

ارائه یک مدل ریاضی برای مسئله موازنۀ هزینه-زمان-اثرات زیست‌محیطی و حل آن با الگوریتم‌های فرالبتکاری ازدحام ذرات و کرم شب‌تاب

محمد رضا تقی‌زاده بزدی^{*}، سعید غفوری^{**}

چکیده

افزایش تعداد و گردش مالی پروژه‌های سازمان‌ها و سازمان‌های پروژه‌محور از یک سو و شدت‌گرفتن دغدغه‌های زیست‌محیطی تحت مفهوم «توسعه پایدار» از سوی دیگر به ورود دغدغه‌های زیست‌محیطی در مدیریت پروژه منجر شده است. از این‌رو در این مطالعه، اثرات زیست‌محیطی پروژه به عنوان شاخص جدیدی در مسئله موازنۀ هزینه-زمان پروژه در نظر گرفته شده و مدل ریاضی جدیدی با سه شاخص هزینه، زمان و اثرات زیست‌محیطی ارائه شده است. با توجه به دشواری حل مدل ریاضی ارائه شده از دو الگوریتم فرالبتکاری ازدحام ذرات چنددهفه و کرم شب‌تاب چنددهفه به صورت ترکیبی با یک الگوریتم ابتكاری که جواب‌های موجه از نظر روابط پیش‌نیازی ایجاد می‌کند، در محیط نرم‌افزار متلب استفاده شد. نتایج به کارگیری این مدل ریاضی و الگوریتم‌های حل بر روی داده‌های مسائل استاندارد موجود در کتابخانه PSPLIB نشان داد که مدیران پروژه با به کارگیری این مدل ریاضی در زمان‌بندی پروژه خود، حق انتخاب بین مقادیر مختلف زمان، هزینه و اثرات زیست‌محیطی پروژه را خواهند داشت و از طرفی می‌توانند اثرات زیست‌محیطی پروژه را کنترل کنند؛ همچنین مقادیر شاخص‌های ارزیابی جواب‌های پارتو نشان داد که الگوریتم ازدحام ذرات کارایی بهتری نسبت به الگوریتم کرم شب‌تاب در این مسئله داشته است.

کلیدواژه‌ها: مسئله موازنۀ هزینه-زمان-اثرات زیست‌محیطی؛ الگوریتم فرالبتکاری؛ الگوریتم ازدحام ذرات؛ الگوریتم کرم شب‌تاب.

تاریخ دریافت مقاله: ۱۳۹۵/۲/۲۱، تاریخ پذیرش مقاله: ۱۳۹۵/۲/۲۴.

* استادیار، دانشگاه تهران.

** کارشناسی ارشد، دانشگاه تهران (نویسنده مسئول).

۱. مقدمه

مدیریت پروژه شامل کاربرد دانش، مهارت‌ها، ابزار و فنونی است که برای برآوردن نیازمندی‌ها و نیل به اهداف تعیین شده پروژه استفاده می‌شود [۱۴]. یکی از مهم‌ترین گام‌های مدیریت پروژه‌های صنعتی و عمرانی، برنامه‌ریزی و زمان‌بندی فعالیت‌ها است. این مسئله با روش‌های کلاسیکی همچون مسیر بحرانی،^۱ PERT و غیره حل می‌شود و جدول زمان‌های اجرا و خاتمه فعالیت‌ها را به مدیران اجرایی پروژه ارائه می‌دهد. این روش‌ها بر این فرض بنا نهاده شده‌اند که تمام فعالیت‌ها در زمان استاندارد خود قابل اجرا هستند [۲۵]. محاسبات تاریخ تکمیل پروژه با روش‌های CPM^۲ و PERT و غیره بر این فرض متکی هستند که فعالیت‌های لازم برای اجرای پروژه، بهخصوص فعالیت‌های واقع بر مسیر بحرانی، همگی در زمان‌های معمول خود که تخمین زده شده‌اند، قابل انجام باشند. در موارد بسیاری، لازم است پروژه را زودتر از تاریخ محاسبه شده بر روی شبکه تکمیل کرد. در چنین شرایطی یکی از راه حل‌های ممکن برای کوتاه کردن زمان اجرای پروژه، تسریع انجام فعالیت‌ها است. کاهش زمان اجرای فعالیت از زمان معمولی به زمان کوتاه‌تر، همواره با صرف هزینه همراه است. این عمل به عنوان مسئله موازنۀ هزینه-زمان یکی از مسائل شناخته شده در مدیریت پروژه است [۱۲]. علاوه بر هزینه بیشتر، تسریع در انجام فعالیت‌های پروژه می‌تواند بر کیفیت انجام، ضریب ایمنی و اثرات زیست‌محیطی پروژه نیز تأثیر بگذارد که در مدل‌های توسعه‌یافته مسئله موازنۀ هزینه-زمان به تعدادی از آن‌ها پرداخته شده است.

یکی از جنبه‌های تأثیرپذیر از تسریع در انجام فعالیت‌ها، اثرات زیست‌محیطی به جامانده از انجام پروژه است که در سال‌های اخیر توجه پژوهشگران را به خود جلب کرده است. با توسعه صنایع و پیشرفت‌های روزافزون جوامع و افزایش رشد اقتصادی، توجه به محیط‌زیست به عنوان یکی از ارکان توسعه، موردن غفلت قرار گرفت و تخریب نگران‌کننده محیط‌زیست و منابع طبیعی درنتیجه کاربرد فناوری‌ها از جمله دلایل رواج «تفکر توسعه پایدار» شد [۳۸]. در اواخر دهه ۱۹۶۰ میلادی تعدادی از متفکران که نگران نابودی محیط‌زیست در برابر رشد اقتصادی بودند، نخستین کوشش‌ها در راستای حمایت و بهبود محیط‌زیست در قالب توصیه به اجلاس فونکس^۳ را انجام دادند. پس از آن این مسئله در اجلاس محیط‌زیست استکهلم ۱۹۷۲، کمیسیون جهانی محیط‌زیست^۴ در سال ۱۹۸۷ و اجلاس ریو ۱۹۹۲ مطرح شد و درنهایت به ایجاد چارچوبی تحت عنوان «توسعه پایدار» منجر شد [۳۸].

دستور کار قرن بیست و یکم، در سند ۶۰۰ صفحه‌ای اجلاس ریودوژانیرو، به رویکرد توسعه

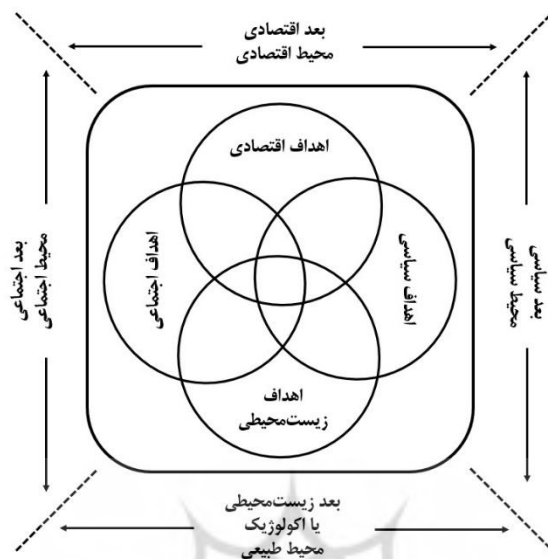
1. Program Evaluation and Review Technique

2. Critical Path Method

3. Founex

4. World Commission on Environment and Development

پایدار حالتی عمومی داده است [۳۹]. توسعه پایدار دارای چهار بُعد اقتصادی، اجتماعی، محیط‌زیست و سیاست‌های دولت‌ها است (شکل ۱) که در آن یکی از مهم‌ترین ابعاد، توجه به محیط‌زیست است [۳۸].



شکل ۱. ابعاد توسعه پایدار و محیط‌های درگیر با آن (زاده‌ی، ش. و نجفی، ق. /۲۰۰۶).

توجه به تأثیرات زیستمحیطی در مسئله موازنۀ هزینه- زمان نیازمند ارائه مدل ریاضی جدیدی است که در آن علاوه بر درنظرگرفتن این شاخص‌ها، اهداف و محدودیت‌های جدیدی نیز تعریف شوند که اثرات زیستمحیطی را مدنظر قرار دهند.

۲. مبانی نظری و پیشینه پژوهش

راه حل‌های تسريع در تکمیل پروژه به طور عمده از هزینه بیشتری برخوردار خواهند بود؛ ولی با توجه به تسريع زمانی در تکمیل فعالیتها و درنظرگرفتن هزینه‌های مستقیم و غیرمستقیم فعالیتها در مواردی می‌توانند علاوه بر کاهش زمان تکمیل پروژه، هزینه‌های کل پروژه را نیز کاهش دهند [۱۳]. مسئله مبادله بین هزینه و زمان برای فعالیتها در این راستا تعریف و مدل‌سازی شده است و روش‌های برنامه‌ریزی خطی [۱۴]، الگوریتم ابتکاری زیمنس [۱۳] و غیره برای حل این مسئله ارائه شده‌اند.

در این مبادله امکان انتخاب روش انجام یک فعالیت با کیفیت پایین‌تر وجود دارد که این موضوع با عنوان «مبادله هزینه- زمان- کیفیت» که به صورت مدل‌های ریاضی یک یا چند هدفه

فرموله شده‌اند، در پژوهش‌های بعدی مطرح شد تا معیار کیفیت کلی پروژه و حداقل سطح کیفی فعالیت‌ها را نظر داشته باشد [۴]. مسئله جدید با توجه به دشواری ایجادشده در مدل ارائه شده، به یک مسئله NP-Hard تبدیل شده است که حل آن با روش‌های معمول بسیار دشوار است؛ از این‌رو پژوهشگران زیادی این مسئله را با الگوریتم‌های فراتکاری حل کرده‌اند [۱۷، ۲۱، ۲۶]. هرچند این روش‌ها جواب بهینه قطعی ارائه نمی‌کنند، به کارگیری آن‌ها موجب بهدست‌آمدن جواب بهینه نسبی بسیار نزدیک به جواب نهایی خواهد شد که در عمل مشکل حل مسئله جدید را مرتفع می‌سازد [۱۷].

پس از مدل مبادله هزینه- زمان- کیفیت، مدلی جدید با جایگزینی شاخص کیفیت با شاخص ایمنی، با توجه به حساسیت ایمنی در برخی پروژه‌های صنعتی (صنایع پتروشیمی و غیره)، ارائه شد که دشواری‌های مدل قبلی برای حل را به همراه داشت [۱].

درگذر زمان، مسئله مبادله هزینه- زمان در قالب‌های کلی زیر تغییر کرده است:

- مبادله هزینه- زمان؛

- مبادله هزینه- زمان- کیفیت؛

- مبادله هزینه- زمان- ایمنی.

در ادامه تعدادی از پژوهش‌های مرتبط با موضوع در جدول ۱، آورده شده است.



جدول ۱. مرور تعدادی از مقالات حوزه موازنه هزینه-زمان در پژوهش

| منبع | موضوع | مورد مطالعه | معیار مبادله | الگوریتم حل |
|------|------------------------------------------|---------------|--------------|-----------------------------------------------------------------------------|
| [۳] | موازنه هزینه - زمان | هزینه- زمان | هزینه- زمان | مسئله استاندارد مقاله‌های قبلی |
| [۱۹] | موازنه هزینه- زمان | هزینه- زمان | هزینه- زمان | الگوریتم ابتکاری پیشنهادی |
| [۵] | موازنه هزینه- زمان فازی | هزینه- زمان | هزینه- زمان | الگوریتم ژنتیک فازی |
| [۱۰] | موازنه هزینه- زمان با زمان‌های غیرقطعی | هزینه- زمان | هزینه- زمان | برنامه‌ریزی تصادفی مقید ^۱ |
| [۱۷] | موازنه هزینه - زمان- | - | هزینه- | یک شرکت پیمانکاری چندهدفه |
| [۳۱] | موازنه هزینه - زمان- | هزینه - زمان، | هزینه- زمان | استقرار مخازن گاز مایع جست‌و‌جوی پراکنده |
| [۶] | موازنه هزینه - زمان- | هزینه ° زمان | هزینه ° زمان | الگوریتم ترکیبی چندهدفه کلونی زنبور عسل مصنوعی |
| [۲] | موازنه هزینه - زمان- | هزینه- زمان | هزینه- زمان | الگوریتم کلونی مورچگان چندهدفه |
| [۲۱] | موازنه هزینه - زمان- | هزینه- زمان | هزینه- زمان | الگوریتم رقابت استعماری چندهدفه |
| [۲۳] | موازنه هزینه - زمان - کیفیت گسسته | هزینه- زمان | هزینه- زمان | الگوریتم ازدحام ذرات چندهدفه |
| [۲۸] | موازنه هزینه - زمان - کیفیت | هزینه ° زمان | هزینه ° زمان | NHGA |
| [۳۰] | موازنه هزینه - زمان - کیفیت گسسته | هزینه ° زمان | هزینه ° زمان | ترکیب الگوریتم‌های جست‌و‌جوی پراکنده و الکترومغناطیس |
| [۳۲] | موازنه هزینه ° زمان - کیفیت | هزینه- زمان | هزینه- زمان | تولید مسئله به صورت تصادفی با الگوریتم رقابت استعماری ارائه شده |
| [۳۴] | موازنه هزینه - زمان - کیفیت تصادفی گسسته | هزینه ° زمان | هزینه ° زمان | ترکیب الگوریتم‌های هوشمند ^۵ با شبیه‌سازی تصادفی و الگوریتم ژنتیک |
| [۱] | موازنه هزینه ° زمان - ایمنی | هزینه- زمان | هزینه- زمان | الگوریتم ژنتیک چندهدفه قبلی |

1. Chance-Constrained Programming

1. Electromagnetic scatter search

2. Imperialist Competitive Algorithm

3. Particle Swarm Optimization

4. Intelligent Algorithm

در این مطالعه یک معیار اصلی به معیارهای اولیه مسئله موازنه هزینه - زمان اضافه شده و مدل ریاضی جدیدی ارائه شده است؛ سپس به کمک این مدل ریاضی جدید، به موازنه بین سه هدف هزینه - زمان و اثرات زیستمحیطی در پروژه‌های استاندارد با اندازه‌های کوچک، متوسط و بزرگ پرداخته شده است.

۳. روشناسی پژوهش

روشناسی حل. مدل‌های ریاضی موجود در حوزه موازنه هزینه - زمان، با اضافه شدن تعداد فعالیت‌ها، تعداد حالت‌های اجرایی فعالیت‌ها و توابع هدف جدید به مسائلی از جنس NP-Hard تبدیل می‌شوند و این موضوع در بسیاری از مطالعات گذشته از قبیل دانه و همکاران (۱۹۹۵) و شهرسواری پور و همکاران (۲۰۱۰)، نبی‌پور افروزی و همکاران (۲۰۱۴)، توضیح داده است [۲۱، ۲۷، ۸]؛ از این‌رو برای حل این مدل، در این پژوهش از الگوریتم‌های فرالبتکاری کمک گرفته شده است. کاربرد الگوریتم‌های فرالبتکاری در بهینه‌سازی مسائل، با توجه به قابلیت بالای جست‌وجوی این الگوریتم‌ها رواج پیدا کرده است؛ ولی نمی‌توان از میان الگوریتم‌های متعدد ارائه شده تاکنون، الگوریتم خاصی را برتر از سایر الگوریتم‌ها دانست؛ زیرا کارایی این الگوریتم‌ها می‌تواند در مسائل گوناگون متفاوت باشد [۳۵].

در پژوهش‌های متعددی به منظور حل مدل‌های موازنه هزینه ° زمان - کیفیت و موازنه هزینه ° زمان - ایمنی از الگوریتم ازدحام ذرات استفاده شده که عملکرد مناسبی نیز داشته است. در این مطالعه نیز با توجه به شباهت زمینه‌ای مدل توسعه‌داده شده با مدل‌های پیشین از این الگوریتم برای مسائل چندهدفه (الگوریتم ازدحام ذرات چندهدفه (MOPSO)¹) استفاده شده است. به منظور ارزیابی عملکرد الگوریتم به کارگرفته شده، در کنار الگوریتم اصلی از الگوریتم چندهدفه کرم شبتاب نیز استفاده شده است تا بتوان مقایسه‌ای بین عملکرد این دو الگوریتم فرالبتکاری مبتنی بر جمعیت نیز به عمل آورد. در ادامه به معرفی مختصر پیشینه دو الگوریتم استفاده شده و شبه کد هر یک که نمایان گر نحوه عملکرد آن‌ها در حل مسئله است، پرداخته می‌شود.

الگوریتم بهینه‌سازی ازدحام ذرات. الگوریتم بهینه‌سازی ازدحام ذرات از جمله الگوریتم‌های فرالبتکاری مبتنی بر جمعیت است که توسط کندی و ابرهارت (۱۹۹۵)، ارائه شد [۹]. این الگوریتم از هوش جمعی^۲ الهام گرفته شده است [۱۶]. این روش درواقع الهام گرفته از رفتار جمعی ارگانیسم‌های طبیعی، نظری درسته پرندگان و ماهی‌ها در یافتن منطقه‌ای با غذای کافی

1. Multi-Objective Particle Swarm Optimization
2. Swarm Intelligence

است. در این گونه اجتماع‌ها، بدون وجود کنترل مرکزی، یک رفتار هماهنگ شده بوجود می‌آید. روش PSO، به‌طور موفق برای مسائل بهینه‌سازی پیوسته استفاده شده است [۲۹]. نخستین بار این روش در مسائل بهینه‌سازی، توسط کندی و ابرهارت (۱۹۹۵) به کار رفت. نخستین تلاش‌ها برای توسعه الگوریتم تک‌هدفه ازدحام ذرات جهت مواجهه با مسائل چندهدفه به پژوهش‌های مور و چاپمن (۱۹۹۹) و ری و همکاران (۲۰۰۲) بر می‌گردد که در پژوهش دیگری تکمیل و مورد آزمون قرار گرفته‌اند.

کوئلو کوئلو و سالازار لچوگا (۲۰۰۲)، الگوریتم PSO را برای مسائل بهینه‌سازی چندهدفه طراحی کردند. در الگوریتم جدید ارائه شده به کمک جواب‌های غیرمغلوب و مفهوم پارتو، تلاش شده است تا بتوان از این الگوریتم برای مسائل بهینه‌سازی چندهدفه استفاده کرد. در این مطالعه از ترکیب الگوریتم ازدحام ذرات چندهدفه بر اساس جواب‌های بهینه پارتو با یک الگوریتم ابتکاری برای تبدیل جواب‌های تصادفی به جواب‌های شدنی از نظر روابط پیش‌نیازی استفاده شده است. در ادامه مکانیسم عملکرد الگوریتم ترکیبی و الگوریتم ابتکاری ارائه شده است:

گام ۱: تعریف توابع هدف و محدودیت‌ها و همچنین تعیین تعداد تکرار (یا شرط توقف الگوریتم);
 گام ۲: بارگذاری جمعیت n ذره جستجوگر به صورت یکنواخت در فضای مسئله (از تکرار دوم بر اساس جواب‌های بهینه محلی و سراسری، جمعیت به سمت بهترین جواب (جواب غالب مرحله قبل g^t) حرکت می‌کند);

گام ۳: تبدیل موقعیت‌های تصادفی هر ذره به موقعیت شدنی با اعمال محدودیت‌های پیش‌نیازی حاکم بین فعالیت‌ها (این عمل با به کارگیری الگوریتم ابتکاری معرفی شده انجام می‌شود). جواب‌های تصادفی ایجاد شده به کمک این الگوریتم به یک جواب شدنی بر اساس روابط پیش‌نیازی تبدیل می‌شوند;

گام ۴: محاسبه مقدار تابع هدف برای هر ذره، مقایسه آن‌ها با یکدیگر و تعیین g^t : در صورتی که یک جواب غالب در بین جواب‌های این تکرار وجود نداشته باشد:

گام ۵: تولید بردار وزن تصادفی با مجموع یک، برای هر ذره;

گام ۶: تعیین g^t بر اساس وزن‌ها و مقادیر تابع هدف هر ذره;

گام ۷: تعیین جواب‌های غیرمغلوب و انتقال آن‌ها به تکرار بعدی؛

گام ۸: تکرار گام‌های ۲ تا ۷ را سیند به شرط توقف.

در این مطالعه پارامترهای الگوریتم بهینه‌سازی ازدحام ذرات به صورت جدول ۲، تنظیم شده‌اند.

جدول ۲. پارامترهای تنظیم شده برای الگوریتم MOPSO

| پارامتر | مقدار تنظیم شده |
|---------|----------------------------------------|
| ۳۰ | تعداد ذره |
| ۱۰۰۰ | تعداد تکرار |
| ۰/۳ | (ضریب همگرایی سراسری) C_0 |
| ۰/۷ | (ضریب بازگشت به بهترین محل قبلی) C_1 |

الگوریتم فرالبتکاری کرم شب قاب^۱: الگوریتم کرم شب قاب یک الگوریتم الهام‌گرفته از طبیعت است که تو سط یانگ (۲۰۰۷)، معرفی شد [۳۷].

در الگوریتم کرم شب قاب برای سادگی سه قانون زیر در نظر گرفته می‌شود:

۱. تمام کرم‌های شب قاب دوجنسیتی هستند و بدون توجه به جنسیت یکدیگر را جذب می‌کنند.
۲. شدت جذب متناسب با درخشندگی شب قاب‌ها است؛ بنابراین برای دو شب قاب آنکه شدت نور کمتری دارد به سمت آنکه درخشندگی بیشتری دارد حرکت می‌کند. اگر هیچ یک از دیگری درخشنان‌تر نباشند، به صورت تصادفی به سمت هم حرکت می‌کنند؛
۳. تابع هدف بهوسیله شدت روشنایی شب قاب در مقصد تعیین می‌شود.

در الگوریتم کرم شب قاب دو مسئله مهم وجود دارد: تغییر شدت نور و فرموله کردن میزان جذابیت. برای سادگی می‌توان فرض کرد که جذابیت یک کرم شب قاب با میزان نوری که می‌تاباند، تعیین می‌شود.

در ساده‌ترین حالت شدت نور I_r متناسب با قانون معکوس توان دوم است.

$$I_r = I_s / r^2$$

در این معادله، I_s شدت نور در منبع است؛ همچنین اگر شدت جذب نور توسط محیط فرض شود، می‌توان شدت نور را با رابطه مقابل محاسبه کرد:

$$I = I_0 e^{-\gamma r}$$

در این معادله I_0 شدت نور منبع است. برای اجتناب از مشکل یکتایی^۲ در عبارت I_s / r^2 ترکیب توأم‌ان تأثیر قانون معکوس توان دوم و جذب محیطی می‌تواند بهوسیله فرمول گاوی مقابل تخمین زده شود:

1. Firefly Algorithm
1. Singularity

$$I(r) = I_0 e^{-\gamma r^2}$$

از آنجاکه جذابیت یک کرم شبتاب مناسب با شدت نور در کشده توسط کرم شبتاب مجاور است، جذابیت یک کرم شبتاب با معادله زیر تعریف تعیین می‌شود:

$$\beta = \beta_0 e^{-\gamma r^2}$$

در این معادله β_0 شدت نور در $r=0$ است؛ همچنین فاصله بین دو کرم شبتاب به وسیله فرمول زیر تعیین می‌شود:

$$r_{ij} = \sqrt{(x_i - x_j)^2 + (y_i - y_j)^2}$$

درنهایت حرکت شبتاب J به سمت شبتاب جذاب‌تر به وسیله فرمول زیر تعیین می‌شود:

$$x_j = x_j + b \cdot e^{-\gamma r_{ij}^2} \cdot (x_i - x_j) + \alpha.$$

در این معادله دومین عبارت رابطه جذابیت است و سومین عبارت یک حرکت تصادفی است که پارامتر در آن یک عدد تصادفی در بازه صفر تا ۱ و پارامتر توزیع یکنواخت است؛ همچنین پارامتر b معمولاً برابر با ۱ در نظر گرفته می‌شود [۱۱]. مکانیسم الگوریتم کرم شبتاب ترکیبی استفاده شده در این مطالعه به صورت زیر است:

در این مطالعه از ترکیب الگوریتم کرم شبتاب چنددهده بر اساس جواب‌های بهینه پارتو [۳۶]. با یک الگوریتم ابتکاری برای تبدیل جواب‌های تصادفی به جواب‌های شدنی از نظر روابط پیش‌نیازی استفاده شده است. مکانیسم این الگوریتم که برای نخستین بار توسط یانگ (۲۰۱۲)، ارائه شده به صورت زیر است [۳۶]:

گام ۱: تعریف توابع هدف و محدودیت‌ها و همچنین تعیین تعداد تکرار (یا شرط توقف الگوریتم):
گام ۲: بارگذاری جمعیت n کرم شبتاب به صورت یکنواخت در فضای مسئله (از تکرار دوم بر اساس درخشندگی کرم‌ها جمعیت به سمت بهترین جواب (جواب غالب مرحله قبل $*g^t$) حرکت می‌کند):

گام ۳: تبدیل موقعیت‌های تصادفی هر کرم به موقعیت شدنی با اعمال محدودیت‌های پیش‌نیازی حاکم بین فعالیتها (این عمل با به کارگیری الگوریتم ابتکاری معرفی شده انجام می‌شود)، جواب‌های تصادفی ایجاد شده به کمک این الگوریتم به یک جواب شدنی بر اساس روابط پیش‌نیازی تبدیل می‌شوند؛

گام ۴: بررسی مجدد شدنی بودن موقعیت‌های خروجی گام ۳ با اعمال محدودیت‌های منابع

تجدیدپذیر و تجدیدناپذیر، جواب‌های غیرموجه (نشدنی) در این گام از مجموعه جواب‌ها حذف می‌شوند؛

گام ۵: محاسبه مقدار توابع هدف یا درخستندگی برای هر کرم، مقایسه آن‌ها با یکدیگر و تعیین g_*^t ؛

در صورتی که یک جواب غالب در بین جواب‌های این تکرار وجود نداشته باشد:

گام ۶: تولید بردار وزن تصادفی با مجموع یک برای هر کرم شبتاب؛

گام ۷: تعیین g_*^t بر اساس وزن‌ها و مقادیر توابع هدف هر کرم شبتاب؛

گام ۸: تعیین جواب‌های غیرمغلوب و انتقال آن‌ها به تکرار بعدی؛

گام ۹: تکرار گام‌های ۲ الی ۸ تا رسیدن به شرط توقف.

در این مطالعه پارامترهای الگوریتم بهینه‌سازی از دحام ذرات به صورت جدول ۳، تنظیم شده‌اند.

جدول ۳. پارامترهای تنظیم‌شده برای الگوریتم MOFA

| پارامتر | مقدار تنظیم‌شده |
|------------------------------------------------------------------------------------------------------------------------------|-----------------|
| تعداد کرم شبتاب | ۳۰ |
| تعداد تکرار | ۱۰۰۰ |
| در هر تکرار عددی تصادفی بین ۰-۱ (این ضربی از همگرایی سریع کرم‌های شبتاب جلوگیری می‌کند و موجب جستجوی بهتر فضای مسئله می‌شود) | |
| β_0 | ۳ |
| ۰/۲ | |

الگوریتم ابتکاری. الگوریتم‌های مورداستفاده برای حل این مسئله با یک الگوریتم ابتکاری ترکیب شده است که به کارگیری این الگوریتم به افزایش کارایی الگوریتم‌های اصلی منجر خواهد شد؛ زیرا جواب‌های غیرموجه (نشدنی) ایجادشده توسط الگوریتم اصلی را به یک جواب شدنی نگاشت می‌کند و به عبارتی به اراضی (رابطه ۸-۵) مدل ریاضی ارائه شده منجر می‌شود.

مکانیسم عملکرد این الگوریتم ابتکاری به صورت زیر است:

گام ۱: دریافت فهرست جواب تصادفی از الگوریتم اصلی حل؛

گام ۲: ایجاد فهرست جواب شدنی (در ابتدا فهرست خالی است)؛

از نخستین فعالیت تا آخرین فعالیت در فهرست جواب تصادفی:

گام ۳: فعالیت آم بررسی شود، در صورتی که فعالیت (های) پیش‌نیاز آن در فهرست جواب شدنی قرار دارد (دارند) آن را به فهرست جواب شدنی اضافه و فعالیت آم از فهرست جواب تصادفی حذف شود؛

گام ۴: تا خالی شدن فهرست جواب تصادفی، گام ۳ تکرار شود.

معیار ارزیابی و مقایسه جواب‌های دو الگوریتم. با توجه به تفاوت در ماهیت مسائل چندهدفه و تک‌هدفه، معیارهای ارزیابی جواب برای این مسائل نیز متفاوت است. دو الگوریتم مورداستفاده در این مطالعه از مفهوم جواب‌های پارتولکمک می‌گیرند و مجموعه‌ای از جواب‌های غیرمغلوب را گزارش می‌دهند؛ از این‌رو در این پژوهش برای ارزیابی عملکرد دو الگوریتم بهینه‌سازی ازدحام ذرات و کرم شب‌تاب، علاوه بر زمان، هزینه و اثرات زیستمحیطی به عنوان توابع هدف، چهار معیار تعداد^۱، تنوع^۲، فاصله^۳ و کیفی^۴ استفاده شده است که در ادامه تشریح می‌شوند. هریک از این معیارها رویکرد خاص خود را به مسائل چندهدفه دارند و قادر به سنجش ویژگی‌های متفاوتی هستند؛ به همین دلیل استفاده از چندین معیار به جای یک معیار می‌تواند ارزیابی جامع‌تری ارائه کند. در تعدادی از مطالعات مشابه، از زمان محاسباتی^۵ به عنوان معیار ارزیابی جواب استفاده شده است که با توجه به اینکه این معیار، وابستگی زیادی به مشخصات سخت‌افزاری رایانه و زبان یا نرم‌افزار برنامه‌نویسی مورداستفاده دارد در این مطالعه از این معیار استفاده نشده است [۳۲].

معیار تعداد: در این معیار ملاک تعداد اعضای غیرتکراری دو مجموعه پارتولکرد توسط الگوریتم‌هاست که در واقع هرچه این تعداد بیشتر باشد عملکرد الگوریتم از دیدگاه این معیار بهتر است. به عبارتی بیشتر بودن تعداد اعضای مجموعه پارتولکرد با تعداد حالات تصمیم بیشتر است که موجب تسهیل در روند تصمیم‌گیری مدیران می‌شود [۲۲].

معیار تنوع: زیترلر و همکاران (۲۰۰۰)، معیار اندازه‌گیری خاصی را تعریف کردند که در آن طول قطر فضایی که توسط مقادیر انتهایی اهداف برای مجموعه جواب‌های پارتولکارد به کار می‌رود، اندازه‌گیری می‌شود. بر طبق این معیار هرچه میزان تنوع بیشتر باشد، عملکرد الگوریتم بهتر ارزیابی می‌شود [۴۰].

معیار فاصله: این روش که توسط اسکات (۱۹۹۵) ارائه شده است از دیگر معیارهای بررسی نمودار پارتولکرد است که میزان فاصله جواب‌ها از یکدیگر را بررسی می‌کند تا اندازه فاصله بین جواب‌های یک نقطه با نزدیک‌ترین همسایه‌اش را به دست آورد. این معیار را می‌توان هم به صورت معمولی و هم به صورت نرمالیزشده در نظر گرفت. برخلاف دو معیار قبلی، در این معیار

-
1. Quantity Criterion
 2. Diversity Criterion
 3. Spacing Metric
 4. Covering (Quality) metric
 1. CPU-Time

فاصله کمتر به معنای عملکرد بهتر الگوریتم است [۲۶].

معیار کیفی: این معیار به طور مستقیم به مقایسه جواب‌های پارتو دو الگوریتم می‌پردازد؛ بهنحوی که دو مجموعه پارتو به دست آمده را مقایسه می‌کند و نسبت تعداد جواب‌های غالب را برای هر الگوریتم به دست می‌آورد. معمولاً مجموع این نسبت برای دو الگوریتم برابر یک می‌شود؛ به جز در مواردی که دو مجموعه پارتو به دست آمده دارای نقاط مشترک باشد که در این صورت مجموع می‌تواند بیش از یک شود [۷].

برای آزمون مدل ریاضی ارائه شده و عملکرد الگوریتم‌های حل معرفی شده باید از داده‌های عددی واقعی، خودساخته و یا استاندارد استفاده کرد. در بسیاری از پژوهش‌ها از مثال‌های خودساخته استفاده شده است که عمدتاً با روش‌های تولید تصادفی داده‌ها ایجاد شده‌اند. این داده‌ها صرفاً به منظور بررسی عملکرد مدل ریاضی و الگوریتم حل به کار گرفته شده است. دسته‌ای دیگر از مطالعات، از داده‌های یک پروژه واقعی استفاده کرده‌اند. دسته سوم مطالعات که سهم بیشتری در مطالعات مژو شده به خود اختصاص داده‌اند از داده‌های استاندارد موجود در کتابخانه^۱ PSPLIB استفاده کرده‌اند. مزیت استفاده از این داده‌ها در قابلیت مقایسه و همچنین ارزیابی جواب‌های به دست آمده با جواب‌های ثبت شده توسط دیگر پژوهشگران در این پایگاه است. با توجه به مزیت به کار گیری داده‌های استاندارد موجود در کتابخانه PSPLIB و همچنین به دلیل اینکه در ایران تاکنون شاخص‌های زیست محیطی به عنوان ملاک زمان‌بندی پروژه به کار نرفته است و به تبع چنین داده‌ای در پروژه‌های واقعی ایران وجود ندارد، در این مطالعه از داده‌های پروژه‌های استاندارد با اندازه‌های کوچک (۱۰ فعالیت)، متوسط (۱۸ فعالیت) و بزرگ (۳۰ فعالیت) استفاده شده است. ایجاد داده‌های استاندارد برای زمان‌بندی پروژه برای نخستین بار توسط دیویس (۱۹۹۷) انجام گرفت. وی تعداد ۸۳ مثال استاندارد از مسئله زمان‌بندی پروژه تحت شرایط محدودیت منابع ایجاد کرد. پاترسون (۱۹۹۹) تعداد ۱۱ مثال استاندارد و تالبوت و پاترسون (۱۹۹۹) ۱۰ مثال دیگر ایجاد کردند. مزیت این مسائل در آن است که نخست از طریق اینترنت قابل دسترس هستند و دوم، به طور مداوم در حال کامل شدن هستند و مدل‌های جدید به آن‌ها اضافه می‌شود؛ همچنین جواب‌های بهینه یا نزدیک به بهینه که تاکنون برای آن‌ها به دست آمده است در وب‌سایت ثبت شده و برای پژوهشگران قابل دسترس است.

در مسائل استاندارد ارائه شده در کتابخانه PSPLIB تنها زمان برای فعالیتها مشخص شده است و برای دو تابع هدف دیگر در این مسئله داده‌ها به صورت زیر به این مسائل اضافه شده

۱. این کتابخانه حاوی مجموعه مسائل متفاوت برای انواع مسائل زمان‌بندی پروژه با محدودیت منابع به همراه جواب‌های بهینه و ابتکاری است. این مجموعه داده می‌تواند به منظور ارزیابی رویه‌های حل برای این دسته از مسائل به کار گرفته شود.
<http://www.om-db.wi.tum.de/psplib/library.html>

است:

به منظور افزودن هزینه اجرای فعالیت‌ها در مسائل استاندارد از فعالیت‌های پروژه انتخاب شده و زمان اجرای فعالیت در هر حالت اجرایی، هزینه فعالیت در هر حالت اجرایی با استفاده از یک تابع وابسته به زمان انجام فعالیت محاسبه شد. برای لحاظ کردن عدم قطعیت و عدم امکان پیش‌بینی دقیق هزینه، درجه‌ای از تصادفی بودن در فرمول محاسبه هزینه لحاظ شده است. محاسبه هزینه هر فعالیت در هر حالت اجرایی از طریق رابطه زیر امکان‌پذیر است:

$$C_i = C_{i-1} \cdot S_i(t_i - t_{i-1})$$

در این رابطه C_i و t_i نشان دهنده هزینه زمان اجرای فعالیت هستند و S_i ضریب تصادفی است؛ همچنین داده‌های مربوط به اثرات زیست‌محیطی فعالیت‌ها در هر یک از حالت‌های اجرا به صورت تصادفی تعریف شده است. در جدول ۴، کد و مشخصات عمومی مسائل انتخاب شده از پایگاه PSPLIB ذکر شده است.

جدول ۴. مسائل منتخب از پایگاه PSPLIB

| کد پروژه | تعداد فعالیت | بهترین زمان اجرا (با توجه به داده موجود در این پایگاه تاکنون) |
|----------|--------------|---------------------------------------------------------------|
| J1014_5 | ۱۰ | ۱۹ |
| J1053_6 | ۱۰ | ۲۹ |
| J1814_5 | ۱۸ | ۱۶ |
| J1853_6 | ۱۸ | ۱۸ |
| J3014_5 | ۳۰ | ۱۹ |
| J3053_6 | ۳۰ | ۲۶ |

بیان مسئله و مدل‌سازی. در سال‌های اخیر، مجتمع علمی و نشست‌های متعددی پیرو تأکید بر اهمیت چارچوب توسعه پایدار برگزار شده است و همه آن‌ها راهکار توسعه در ابعاد گوناگون و تداوم این توسعه را منوط به رعایت و حرکت در قالب این چارچوب دانسته‌اند [۳۹]؛ از این‌رو سعی شد مدل جدیدی برای مسئله موازنۀ هزینه- زمان در پروژه با درنظر گرفتن اثرات زیست‌محیطی پروژه ارائه شود. اغلب مدل‌های ارائه شده در این حوزه، هزینه را یکی از اهداف مدل ریاضی ارائه شده برای برنامه زمان‌بندی فشرده در نظر گرفته‌اند و شاید هزینه با درنظرداشتن اصل هزینه- منفعت، در تمامی تصمیم‌های مدیریتی حضور داشته باشد؛ همچنین مطابق با تعریف پروژه که به ارائه محصول یا خدمتی منحصر به‌فرد در حوزه زمانی مشخص اشاره دارد، زمان تکمیل پروژه یکی دیگر از اهداف این مدل‌های ریاضی بوده است که در تمامی تصمیم‌های

مدیران پروژه رُکن اساسی را ایفا می‌کند. با وجود این در مطالعات قبلی اثرات مخرب و منفی اجرای فعالیت‌ها و پروژه‌ها بر محیط‌زیست که ممکن است در صورت تسریع در تکمیل پروژه افزایش یابند، در نظر گرفته نشده‌اند. در این مطالعه با توجه به اهمیت محیط‌زیست و تعدد پروژه‌های صنعتی و عمرانی که غالباً دارای تأثیر قابل توجهی بر محیط اطراف خود هستند، تلاش شده است تا مدل ریاضی جدیدی با درنظرداشتن و افزودن متغیر آلدگی‌های زیست‌محیطی به‌جامانده از پروژه، توسعه داده شود که در ادامه به بخش‌های مرتبط با آن پرداخته می‌شود.

مفهوم مدل ریاضی. هر مدل ریاضی، با توجه به میزان ساده‌سازی جهان واقعی، دارای مفروضات خاصی است که شناخت آن‌ها برای به‌کارگیری مدل ضروری است [۱۸]. مفروضات مدل ریاضی این مطالعه به شرح زیر است:

۱. فعالیت‌های پروژه ماهیتی چندحالته دارند؛
۲. تعداد فعالیت‌ها و زمان، هزینه و اثرات زیست‌محیطی آن‌ها همگی قطعی و مشخص هستند؛
۳. فعالیت‌های پروژه در حین انجام غیرقابل انقطاع هستند و پس از شروع فعالیت تا قبل از زمان پایان آن مجاز به توقف نیستند؛
۴. روابط پیش‌نیازی به صورت کلی (GPR^۱) تعریف می‌شوند.

شمارندها و نمادهای مدل ریاضی

| | |
|------------------------------------|---------------------------------------------------------------|
| $i = 1, 2, \dots, N$ | شماره فعالیت |
| $j = 1, 2, \dots, M_i$ | شماره مدد فعالیت |
| $t = 1, 2, \dots, T$ | : معرف واحد زمانی پروژه است. |
| $EI = EI^1, EI^2, \dots, EI^{(N)}$ | شمارنده شاخص‌های زیست‌محیطی درگیر با مسئله |
| H | مجموعه از جفت‌فعالیت‌هایی است که دارای روابط پیش‌نیازی هستند. |

پارامترهای مدل ریاضی

| | |
|---------------------------|-------------------------------------------------------------------------|
| p_{ij}^{EI} | اثر زیست‌محیطی فعالیت i ام در مدد j ام برای شاخص زیست‌محیطی EI ام |
| P^{EI} | آستانه اثر زیست‌محیطی برای شاخص زیست‌محیطی EI ام |
| C_{ij} | هزینه اجرای فعالیت i ام در مدد j ام |
| d_{ij} | زمان اجرای فعالیت i ام در مدد j ام |
| ls_i تا es_i تا t_i | بازه زمانی بین i تا t_i |

1. General Precedence Relationship

| | |
|--------|------------------------------------------------------------------------------------------|
| es_i | زودترین زمان شروع ممکن برای فعالیت i ام. |
| ls_i | دیرترین زمان شروع ممکن برای فعالیت i ام تا تأخیری در زمان اتمام نهایی پروژه صورت ندهد. |
| C | سقف بودجه پروژه |
| T | سقف زمان تکمیل پروژه |

متغیر تصمیم مدل ریاضی. متغیر تصمیم این مسئله از نوع صفر و یک است و به صورت زیر تعریف می‌شود:

$$\begin{cases} x_{ijt} = 1 & \text{هرگاه فعالیت } i \text{ در مد زام در زمان } t \text{ شروع شود.} \\ x_{ijt} = 0 & \text{در غیر این صورت} \end{cases}$$

مدل ریاضی پژوهش. مدل ریاضی ارائه شده برای این مسئله، بر اساس مدل موازنۀ هزینه - زمان گستته طراحی و شاخص‌های زیست‌محیطی به آن اضافه شده است و مدل نهایی یک مدل خطی صفر و یک است.

الف: توابع هدف مدل. نخستین هدفی که هم در مسائل زمان‌بندی پروژه و هم در چارچوب توسعه پایدار به آن توجه شده، هزینه‌های اتمام پروژه است. اجرای هر فعالیت و هر حالت اجرای آن نیازمند صرف هزینه‌ای است که با توجه به حالت انتخاب شده برای اجرای هر فعالیت، مجموع هزینه‌های فعالیت‌های انتخاب شده برابر با هزینه اتمام پروژه خواهد شد. در این تابع هدف مطابق رابطه ۱، از سایر هزینه‌های پروژه مانند منابع چشم‌پوشی شده است.

$$\text{Min } Z_1 = \sum_{i=1}^I \sum_{j=1}^{M_i} \sum_{t=es_i}^{ls_i} c_{ij} \cdot x_{ijt} \quad (1)$$

از مهم‌ترین اهدافی که در کلیه مسائل زمان‌بندی پروژه از قبیل TCTP و RCPSP و غیره مورد توجه قرار می‌گیرد، زمان اتمام پروژه است. از آنجاکه مدل ریاضی با توجه به شبکه فعالیت‌های پروژه نوشته می‌شود، درصورتی که زمان اتمام و یا شروع آخرین فعالیت پروژه (معمولًاً فعالیتی مجازی است) کمینه شود، زمان کلی پروژه نیز کمینه خواهد شد؛ بنابراین تابع هدف دوم مطابق با رابطه ۲، مدل ریاضی پژوهش به کمینه‌سازی زمان اتمام پروژه می‌پردازد.

$$\text{Min } Z_2 = \sum_{j=1}^{M_i} \sum_{t=e_{S_i}}^{l_{S_i}} t \cdot x_{ijt} \quad (\text{رابطه } 2)$$

تابع هدف سوم این مطالعه، وجه تمایز مدل ارائه شده با سایر مدل‌های موجود در این زمینه است. در این تابع کمینه‌سازی اثرات زیست‌محیطی درگیر با پروژه مدنظر است. از آنجاکه هر پروژه با توجه به ماهیت و محیط اجرای آن، می‌تواند تبعات زیست‌محیطی متعددی را بر جای بگذارد، در حالت کلی می‌توان این تبعات را به سه دسته زیر تقسیم کرد:

- اثرات زیست‌محیطی پروژه بر هوای
- اثرات زیست‌محیطی پروژه بر خاک؛
- اثرات زیست‌محیطی پروژه بر آب.

به‌منظور حفظ کلیت مدل ارائه شده، هر سه دسته این اثرات در نظر گرفته می‌شود و تابع هدف نهایی از مجموع میزان اثرات هر دسته به دست می‌آید؛ همچنین برای ایجاد خاصیت جمع‌پذیری بین مجموع اثرات هر دسته، مجموع هر دسته بر میزانی به نام آستانه آن اثر تقسیم شده است و با بی‌وزن کردن آن، اثرات هر دسته با هم جمع شده‌اند. این آستانه می‌تواند از استانداردهای بین‌المللی پروژه و محیط‌زیستی به‌دست آید و یا توسط مدیران پروژه برای پروژه‌ای خاص تعریف شود. در مدل ریاضی پیش رو، برای هر فعالیت در هر حالت اجرا، سه اثر زیست‌محیطی در نظر گرفته شده است که با EI نشان داده می‌شوند و آلودگی نهایی پروژه از مجموع آلودگی‌های سه دسته بالا برای حالت اجرای انتخاب شده برای فعالیت‌ها به‌دست خواهد آمد؛ بنابراین تابع هدف سوم این مسئله به صورت زیر خواهد بود:

$$\text{Min } Z_3 = \frac{\sum_{i=1}^I \sum_{j=1}^{M_i} \sum_{t=e_{S_i}}^{l_{S_i}} p_{ij}^{EI(1)} \cdot x_{ijt}}{P^{EI(1)}} + \frac{\sum_{i=1}^I \sum_{j=1}^{M_i} \sum_{t=e_{S_i}}^{l_{S_i}} p_{ij}^{EI(2)} \cdot x_{ijt}}{P^{EI(2)}} \\ + \frac{\sum_{i=1}^I \sum_{j=1}^{M_i} \sum_{t=e_{S_i}}^{l_{S_i}} p_{ij}^{EI(3)} \cdot x_{ijt}}{P^{EI(3)}} \quad (\text{رابطه } 3)$$

محدودیت‌های مدل ریاضی: نخستین محدودیت مدل ریاضی ارائه شده، انتخاب تنها یک حالت اجرا برای هر فعالیت را در برنامه زمان‌بندی نهایی، تضمین می‌کند. از آنجاکه در این پژوهش، فرض بر آن است که هر فعالیت پروژه می‌تواند در چندین حالت، اجرا شود، این محدودیت (رابطه ۴) الزام انتخاب تنها یکی از حالت‌های اجرای فعالیت را تضمین می‌کند تا مدل در مرحله حل دچار اخلال نگردد.

محدودیت دوم تا پنجم این مدل ریاضی با توجه به ماهیت روابط پیش‌نیازی چهارگانه (شروع - شروع، شروع - پایان، پایان - شروع و پایان - پایان) موجود بین فعالیت‌های پروژه است. ماز آنجاکه فعالیت ۱ امتأقاً قبل از اتمام کلیه فعالیت‌های پیش‌نیاز آن که با توجه به مجموعه

H مشخص می‌شود، قابل اجرا نیست؛ ازین‌رو این محدودیت‌ها (رابطه ۵ تا ۸) اجازه شروع فعالیت را قبل از اتمام کلیه فعالیت‌های پیش‌نیاز آن نمی‌دهد.

سه محدودیت بعدی مدل به این منظور فرموله شده است تا بتواند در صورت خواست مدیر پروژه، حداکثر هزینه و زمان اجرا و اثرات زیست‌محیطی پروژه را محدود کند؛ البته با توجه به اینکه مسئله به صورت چندهدفه طراحی شده است، مجموعه پارتو^۱، خود سعی بر پوشش حالت‌های مختلف اجرایی ممکن را خواهد داشت؛ اما این سه محدودیت (روابط ۹، ۱۰ و ۱۱) می‌تواند این نیاز مدیران پروژه را برآورده کند.

در ادامه مدل ارائه شده برای این پژوهش به صورت کلی ارائه شده است:

$$\text{Min } Z_1 = \sum_{i=1}^I \sum_{j=1}^{M_i} \sum_{t=es_i}^{ls_i} c_{ij} \cdot x_{ijt} \quad \text{رابطه (۱)}$$

$$\text{Min } Z_2 = \sum_{j=1}^{M_i} \sum_{t=es_I}^{ls_I} t \cdot x_{Ijt} \quad \text{رابطه (۲)}$$

$$\begin{aligned} \text{Min } Z_3 = & \frac{\sum_{i=1}^I \sum_{j=1}^{M_i} \sum_{t=es_i}^{ls_i} p_{ij}^{EI(1)} \cdot x_{ijt}}{P^{EI(1)}} + \frac{\sum_{i=1}^I \sum_{j=1}^{M_i} \sum_{t=es_i}^{ls_i} p_{ij}^{EI(2)} \cdot x_{ijt}}{P^{EI(2)}} \\ & + \frac{\sum_{i=1}^I \sum_{j=1}^{M_i} \sum_{t=es_i}^{ls_i} p_{ij}^{EI(3)} \cdot x_{ijt}}{P^{EI(3)}} \end{aligned} \quad \text{رابطه (۳)}$$

Subject To:

$$\sum_{j=1}^{M_i} \sum_{t=es_i}^{ls_i} x_{ijt} = 1 \quad \text{رابطه (۴)}$$

$$\sum_{j=1}^{M_i} \sum_{t=es_i}^{ls_i} (t + d_{ij} + FS_{ij}) x_{ijt} \leq \sum_{j=1}^{M_i} \sum_{t=es_i}^{ls_i} t \cdot x_{jjt}, \forall (i, j) \in H \quad \text{رابطه (۵)}$$

$$\sum_{j=1}^{M_i} \sum_{t=es_i}^{ls_i} (t + d_{ij} + SS_{ij}) x_{ijt} \leq \sum_{j=1}^{M_i} \sum_{t=es_i}^{ls_i} t \cdot x_{jjt}, \forall (i, j) \in H \quad \text{رابطه (۶)}$$

$$\sum_{j=1}^{M_i} \sum_{t=es_i}^{ls_i} (t + d_{ij} + SF_{ij}) x_{ijt} \leq \sum_{j=1}^{M_i} \sum_{t=es_i}^{ls_i} t \cdot x_{jjt}, \forall (i, j) \in H \quad \text{رابطه (۷)}$$

$$\sum_{j=1}^{M_i} \sum_{t=es_i}^{ls_i} (t + d_{ij} + FF_{ij}) x_{ijt} \leq \sum_{j=1}^{M_i} \sum_{t=es_i}^{ls_i} t \cdot x_{jjt}, \forall (i, j) \in H \quad \text{رابطه (۸)}$$

$$\sum_{i=1}^I \sum_{j=1}^{M_i} \sum_{t=es_i}^{ls_i} c_{ij} \cdot x_{ijt} \leq C \quad \text{رابطه (۹)}$$

$$\sum_{j=1}^{M_i} \sum_{t=es_I}^{ls_I} t \cdot x_{Ijt} \leq T \quad \text{رابطه (۱۰)}$$

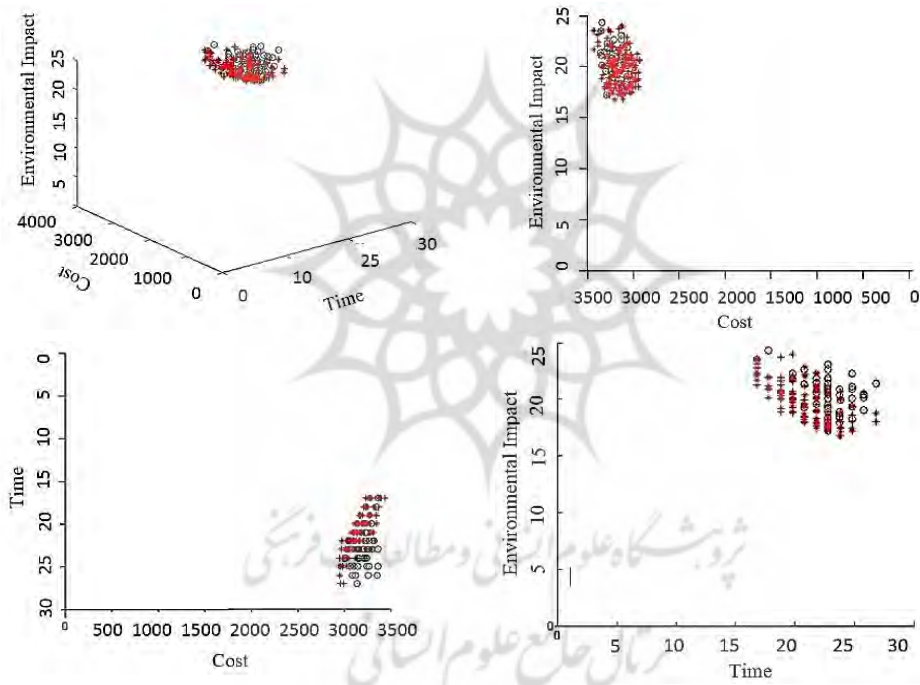
1. Pareto

$$\frac{\sum_{i=1}^I \sum_{j=1}^{M_i} \sum_{t=e_{S_i}}^{l_{S_i}} p_{ij}^{EI(1)} \cdot x_{ijt}}{p_{ij}^{EI(T)(1)}} + \frac{\sum_{i=1}^I \sum_{j=1}^{M_i} \sum_{t=e_{S_i}}^{l_{S_i}} p_{ij}^{EI(2)} \cdot x_{ijt}}{p_{ij}^{EI(T)(2)}} \\ \text{رابطه (۱۱)}$$

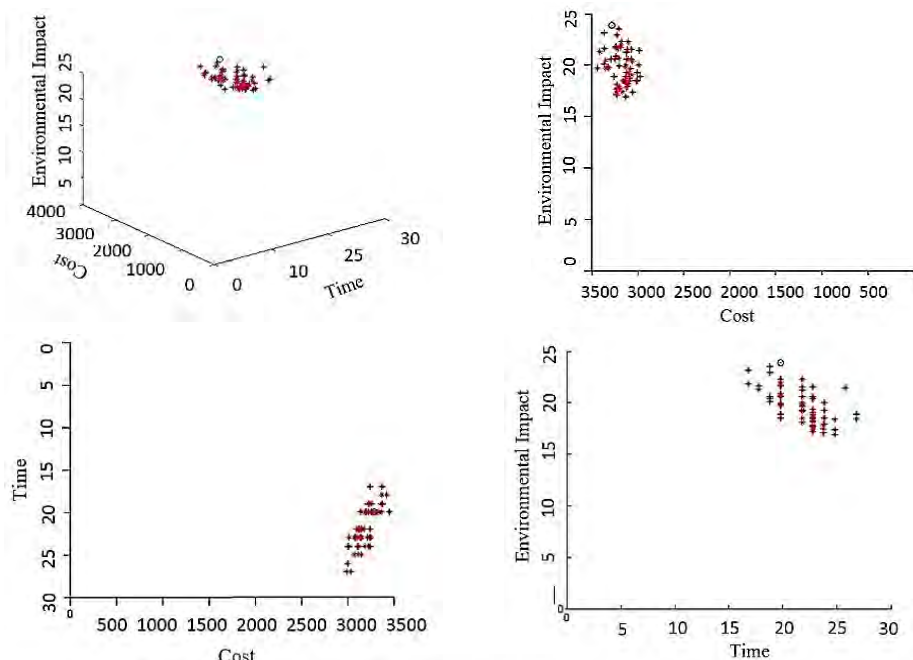
$$+ \frac{\sum_{i=1}^I \sum_{j=1}^{M_i} \sum_{t=e_{S_i}}^{l_{S_i}} p_{ij}^{EI(3)} \cdot x_{ijt}}{p_{ij}^{EI(T)(3)}} \leq 20 \\ x_{ijt} \in \{0,1\} \quad \text{رابطه (۱۲)}$$

۵. تحلیل داده‌ها و یافته‌های پژوهش

به منظور حل مدل ریاضی ارائه شده با الگوریتم ازدحام ذرات شبیه‌سازی شده و کرم شب تاب، مدل ریاضی و روش‌های حل در محیط نرم‌افزار متلب نسخه R2014b کدنویسی شد و مجموعه جواب و جمجمه پارتو^۱ به دست آمده در شکل‌های ۲ و ۳ مورد بررسی قرار گرفت.



1. Pereto Front



شکل ۳. مجموعه جواب‌های پارتو برای پروژه ۵/J3014_5/استخراجی از MOFA

در جدول ۵، مقادیر توابع هدف به دست آمده برای پروژه‌های منتخب که حاصل اجرای الگوریتم MOFA و MOPSO برای داده‌های بالا است به همراه بهترین زمان انجام پروژه (که در سایت PSPLIB ثبت شده است) ارائه شده است.

پژوهشگاه علوم انسانی و مطالعات فرهنگی
پرستال جامع علوم انسانی

جدول ۵. بهترین مقادیر توابع هدف برای مسائل منتخب با MOFA و MOPSO

| الگوریتم حل | کد مسئله | ارائه شده در PSPLIB | زمان اجرای PSPLIB | هزینه اتمام تکمیل | بهترین زمان اجرای PSPLIB | اثرات زیست محیطی |
|-------------|----------|---------------------|-------------------|-------------------|--------------------------|------------------|
| J1014_5 | MOPSO | ۱۹ | ۱۹ | ۲۲۱۳ | ۱۹/۷۴ | |
| J1053_6 | MOPSO | ۲۸ | ۲۹ | ۱۹۲۲ | ۱۷/۳۲ | |
| J1814_5 | MOPSO | ۱۶ | ۱۶ | ۲۹۵۲ | ۱۷/۷۴ | |
| J1853_6 | MOPSO | ۱۸ | ۱۸ | ۲۶۹۲ | ۱۹/۴۱ | |
| J3014_5 | MOPSO | ۱۸ | ۱۹ | ۲۹۵۶ | ۱۶/۷۶ | |
| J3053_6 | MOPSO | ۲۶ | ۲۶ | ۲۵۸۲ | ۱۷/۱۹ | |
| J1014_5 | MOFA | ۱۹ | ۱۹ | ۲۲۵۶ | ۱۸/۵۱ | |
| J1053_6 | MOFA | ۲۹ | ۲۹ | ۱۹۵۲ | ۱۷/۱۵ | |
| J1814_5 | MOFA | ۱۶ | ۱۶ | ۲۹۵۲ | ۱۸/۲۴ | |
| J1853_6 | MOFA | ۱۸ | ۱۸ | ۲۶۹۹ | ۱۹/۸۶ | |
| J3014_5 | MOFA | ۱۹ | ۱۹ | ۲۹۹۸ | ۱۶/۹۲ | |
| J3053_6 | MOFA | ۲۶ | ۲۶ | ۲۶۵۳ | ۱۷/۹۱ | |

با توجه به نتایج عددی به دست آمده از حل این مسئله می توان نتیجه گرفت که نخست، مدل ریاضی ارائه شده در این مطالعه، توانایی ارائه برنامه زمانی اجرای فعالیتهای پروژه را دارد و از صحت لازم برخوردار است و دوم، این امکان را به مدیران پروژه های صنعتی و عمرانی می دهد تا بتوانند همزمان با اهداف اقتصادی و زمان اجرای خود، اثرات زیست محیطی پروژه های را نیز با مدل ریاضی و روش حل ارائه شده کنترل کنند. اعداد ارائه شده در جدول ۵، بهترین مقادیر به دست آمده برای هر یک از توابع هدف سه گانه در سناریوهای متعدد به دست آمده در جواب های الگوریتم های به کار رفته است. در مجموع ۶ مسئله حل شد و ۱۸ مقدار به دست آمده برای توابع هدف، الگوریتم MOPSO در ۱۳ مورد عملکرد برتر، ۴ مورد عملکرد یکسان و تنها در ۱ مورد عملکرد ضعیفتر از الگوریتم MOFA داشته است؛ از این رو در مقایسه عملکرد دو الگوریتم، MOPSO با مقادیر بهتر برای اغلب توابع هدف، عملکرد بهتری داشته است. در مقایسه عملکرد دو الگوریتم فرابتکاری به کار رفته در این مطالعه با نتایج موجود در پایگاه PSPLIB با توجه به نزدیک بودن اغلب مقادیر به دست آمده با مقادیر موجود و برتری یکی از جواب های موجود، می توان عملکرد هر دو الگوریتم در این زمینه را قابل قبول دانست. الگوریتم MOPSO با توجه به یک جواب بهتر نسبت به آنچه در این پایگاه ثبت شده است، عملکرد مناسبی داشته است. به منظور مقایسه عملکرد دو الگوریتم به کار رفته در این مطالعه علاوه بر مقادیر توابع هدف که در جدول ۵، ارائه شد از شاخص های ارزیابی معرفی شده در بخش قبل استفاده شده است که

نتایج آن برای این مطالعه در جدول ۶ مشاهده می‌شود. اعداد ارائه شده در این جدول میانگین پنج اجرای هر یک از الگوریتم‌های به کاررفته است. (برای ارائه بهتر نتایج و همچنین مقایسه راحت‌تر، اطلاعات معیارهای ارزیابی مربوط به یک پروژه ارائه شده است).

جدول ۶: معیارهای ارزیابی و مقایسه دو الگوریتم MOFA و MOPSO

| مسئله | J3014_5 | | J1814_5 | | J1014_5 | | معیار ارزیابی |
|--------|---------|--------|---------|--------|---------|--------|---------------|
| | MOFA | MOPSO | MOFA | MOPSO | MOFA | MOPSO | |
| ۱۳۷ | ۱۶۱ | ۱۸۹ | ۲۲۱ | ۲۰۵ | ۲۴۱ | ۲۴۱ | تعداد |
| ۴۵۹/۸۵ | ۴۲۷/۳۰ | ۳۷۶/۸۱ | ۴۱۱/۹۱ | ۴۷۹/۶۲ | ۴۴۴/۲۶ | ۴۴۴/۲۶ | تنوع |
| ۲/۵۱۶ | ۰/۶۱۱ | ۲/۵۰۳۱ | ۰/۷۸۳۳ | ۴/۳۹۳ | ۱/۳۷۶ | ۱/۳۷۶ | فاصله |
| ۰/۵۲۹ | ۰/۶۵۲ | ۰/۵۱ | ۰/۷۵ | ۰/۵۰ | ۰/۶۴ | ۰/۶۴ | کیفی |

در مقایسه دو الگوریتم به کاررفته در این مطالعه از حیث شاخص‌های ارزیابی جواب (جدول ۶) الگوریتم MOPSO از عملکرد بهتری برخوردار بوده است. این الگوریتم در ۸۳ درصد شاخص‌های استفاده شده، مقادیر بهتری به دست آورده است و این امر نشان از برتری عملکرد این الگوریتم نسبت به الگوریتم MOFA دارد.

۶. نتیجه‌گیری و پیشنهادها

در این پژوهش علاوه بر ارائه یک مدل ریاضی جدید، با درنظرداشتن چارچوب توسعه پایدار و تأکید بر بعد زیستمحیطی آن، از ترکیب الگوریتم ازدحام ذرات چنددهفه و الگوریتم کرم شبتاب چنددهفه با یک الگوریتم ابتکاری برای حل استفاده شد؛ سپس به کمک مدل ریاضی جدید ارائه شده، یک چارچوب مفهومی برای زمان‌بندی فعالیت‌های یک پروژه ارائه شد که به کمک آن می‌توان گزینه‌های مختلف اجرای پروژه‌ها را با هزینه، زمان و اثرات زیستمحیطی مشخص، بررسی کرده و از این طریق با توجه به اهداف هر پروژه بهترین تصمیم را اتخاذ کرد.

نتایج اجرای دو الگوریتم برای داده‌های مسائل استاندارد موجود در پایگاه PSPLIB سناریوهای شدنی برای اجرای فعالیت‌های این پروژه‌ها با مقادیر متفاوت برای توابع هدف است. این نتایج نشان از صحت مدل ریاضی ارائه شده و توانایی آن در ارائه یک جدول زمانی شدنی برای پروژه‌ها دارد. اجرای برنامه حل این مسئله بر روی سیستم عامل Windows با مشخصات سختافزاری CPU Core i5 و RAM 4 GB انجام شد. با توجه به تعداد حالات ممکن برای این مسئله، می‌توان عملکرد این دو الگوریتم را قابل قبول دانست.

در مقایسه عملکرد دو الگوریتم، درمجموع الگوریتم MOPSO با مقادیر برابر یا بهتر برای توابع هدف (جدول ۵) عملکرد بهتری داشته است. با درنظرداشتن مکانیسم جست‌وجوی این

الگوریتم می‌توان این برتری را به هوش جمعی به کارگرفته شده و همچنین تمایل حرکت ذرات به سمت نقاط بھینه محلی و بھینه سراسری در این الگوریتم که از طریق ضرایب همگرایی عمل می‌کند، نسبت داد که توانسته است به نقاط شدنی بھتری دست پیدا کند؛ در حالی که الگوریتم MOFA با استفاده ازتابع حرکت ذرات ساده‌تر (تمایل حرکت ذرات تنها به سمت بھینه سراسری است) این امکان را نداشته و عملکرد ضعیفتری در این مطالعه داشته است.

در مقایسه دو الگوریتم به کاررفته در این مطالعه از نظر شاخص‌های ارزیابی جواب (جدول ۶)، الگوریتم MOPSO از عملکرد بھتری برخوردار بوده است. این الگوریتم در اغلب شاخص‌های استفاده شده در مسائل منتخب به مقادیر بھتری دست یافته است که نشان از برتری عملکرد این الگوریتم نسبت به الگوریتم MOFA دارد. شاخص تعداد جواب پارتون، نشان‌دهنده برتری نقاط مورد بررسی به صورت هوشمند است. شاخص تنوع و فاصله به میزان پراکندگی جواب‌ها و نحوه پراکندگی آن‌ها در فضای شدنی مسئله اشاره دارد و معیار کیفی سهم هر الگوریتم در جواب‌های پارتون نهایی را نشان می‌دهد که در اغلب این شاخص‌ها (به جز دو نتیجه برای شاخص تنوع)، الگوریتم MOPSO توانسته عملکرد بھتری داشته باشد.

علی‌رغم برتری الگوریتم ازدحام ذرات در دو مقایسه مقادیر توابع هدف و شاخص‌های ارزیابی، الگوریتم کرم شبتاب نیز مقادیر نزدیک به مقادیر الگوریتم ازدحام ذرات را به دست آورده که می‌تواند عملکرد قابل قبولی در این مسئله NP-Hard به حساب آید.

خروجی‌های این مطالعه نشان داد که مدیران و ذی‌نفعان پروژه‌های عمرانی و صنعتی در صورت دراختیار داشتن اطلاعات اثرات زیست‌محیطی فعالیت‌های پروژه خود می‌توانند همزمان با اهداف اقتصادی و زمانی به محیط‌زیست اطراف خود نیز توجه داشته باشند و مجموع اثرات مخرب ناشی از اجرای پروژه بر محیط‌زیست را به عنوان یک مقدار قابل سنجش کمینه کنند؛ بدین منظور می‌توان از مدل ریاضی و روش حل به کاررفته در این مطالعه کمک گرفت و به کنترل اثرات زیست‌محیطی پروژه‌ها پرداخت.

منابع

1. Afshar., A. & Zolfaghar Dolabi, H. R. (2014). Multi-Objective Optimization Of Time-Cost-Safety Using Genetic Algorithm. *Int. J. Optim. Civ. Eng.*, 4(4), 433° 450.
2. Afshar, A., Kaveh, A., & Shoghli, O. R. (2007). Multi-Objective Optimization of Time-Cost-Quality Using Multi-Colony Ant Algorithm. *Asian J. Civ. Eng. (Building Housing)*, 8(2), 113° 124.
3. Asadian Ardakani, F. & Morovvati Sharif Abadi, A. (2011). Combining Particle Swarm Optimization with CUL heuristic Algorithm for solving Tow Dimension cutting Problem. *Journal of Industrial Management Perspective*, 1(3), 121- 138.
4. Atkinson, R. (1999). Cost, time and quality , two best guesses and a phenomenon, its time to accept other success criteria. *Int. J. Proj. Manag.*, 17(6), 337° 342.
5. Chao-guang, J. I. N., Zhuo-shang, J., Yan, L. I. N., Yuan-min, Z. & Zhen-dong, H. (2005). Research on the fully fuzzy time-cost based on genetic algorithms. *J. Mar. Sci. Appl.*, 4(3), 18° 23.
6. Cheng, M., Tran, D., & Cao, M. (2014). Hybrid Multiple Objective Artificial Bee Colony with Differential Evolution for the Time-Cost-Quality Tradeoff problem. *KNOWLEDGE-BASED SYSTEMS*. Elsevier B.V.
7. Coello, C.C., Lamont, G. B., & Van Veldhuizen, D. A. (2007). Evolutionary algorithms for solving multi-objective problems. *Springer Science & Business Media*.
8. Dunne, P., De, E. J., Ghosh, J. B., & Wells, C. E. (1995). Invited Review The discrete time-cost tradeoff problem revisited. *Eur. J. Oper. Res.*, 81, 225° 238.
9. Eberhart, R., & Kennedy, J. (1995). A new optimizer using particle swarm theory. *SSS '95. Pro.. ShhhHn.. Sppp. rrrr o aa hh. Hu.. S... , 39° 43.*
10. El-kholy, A. M. (2013). Time ° cost tradeoff analysis considering funding variability and time uncertainty. *Alexandria Eng. J.*, 52(1), 113° 121.
11. Farsijani, H., Fattahi, M., & Norozi, M. (2012). Selecting Inter-Acted Project Portfolio by Using of Particle Swarm Optimization Algorithm. *Journal of Industrial Management Perspective*, 2(5), 27- 49.
12. Hajshirmohammadi, A. (1998). *Project Control and Management*. Jahad-e-Daneshgahi Press, Isfahan, Iran.
13. Hajshirmohammadi, A. (2009) *Project Control and Management*. Jahad-e-Daneshgahi Press, Isfahan, Iran.
14. Jafarnejad, A. (2002). *Production and Operation Management*. University of Tehran Press, Tehran, Iran.
15. Jalali Naeini, S. Jafari Skandari, M. and Nozari, H. (2012), *Engineering Optimization Rely on Metaheuristic Methods*, Dibagaran-e-Tehran Press, Tehran, Iran.
16. Kennedy, J. F., Eberhart, R. C., & Shi, Y. (2001). *Swarm intelligence*. Morgan Kaufmann.
17. Mehdizadeh, A. & Mohsenian, O. (2009). Solving Time-Cost-Quality Trade-off Problem with Multi-objective stochasting programming. *Sharif management and industrial engeering*, 2(28), 102-111.
18. Mehregan, M. (2012). *Mathematical Modeling*, SAMT Press, Tehran, Iran.

19. Mirghaderi, S., & Zandiye, M. (2011). Designing a New Meta-heuristic Algorithm Relying On Behavior of $x\cos(x)$ and $\tanh(x)$ Fuctions. *Journal of Industrial Management Perspective*, 1(2), 107- 125.
20. Moore, J., & Chapman, R. (1999). Application of particle swarm to multiobjective optimization. Dep. Comput. Sci. Softw. Eng. Dep. Auburn Univ., 1° 4.
21. Nabipoor Afruzi, E., Abbas Najafi, A., Roghanian, E., & Mazinani, M. A Multi-Objective Imperialist Competitive Algorithm for solving discrete time , cost and quality trade-off problems with mode-identity and resource-constrained situations. *Comput. Oper. Res.*, 50, 80° 96, 2014.
22. Nazeri, A., & Bafruei, M. K. (2015). Implementation of meta-heuristic algorithms for supplier selection and evaluation and multi product order allocation. *J. UMP Soc. Sci. Technol. Manag.* 3(3).
23. Rahimi, M. & Iranmanesh, H. (2008). Multi Objective Particle Swarm Optimization for a Discrete Time , Cost and Quality Trade -off Problem. *World Appl. Sci. J.*, 4(2), 270° 276.
24. Ray, T., Kang, T., & Kian Chye, S. (2002). Multiobjective Design Optimization by An Evolutionary Algorithm. *Eng. Optim.*, 33(4).
25. Sabze parvar, M. (2014). *Project Control and Management*. Termeh Press, Tehran, Iran.
26. Schott, J. R. (1995). *Fault Tolerant Design Using Single and Multicriteria Genetic Algorithm Optimization*. DTIC Document,.
27. Shahsavari por, N., Modarres, M., Aryanejad, M.B., & Tavakoli Moghadam, R. (2010). The Discrete Time-Cost-Quality Trade-off Problem Using a Novel Hybrid Genetic Algorithm. *Appl. Math. Sci.*, 4(42), 2081° 2094.
28. Shahsavari Pour, N., Modarres, M., & Tavakkoli-moghaddam, R. (2012). Time-Cost-Quality Trade-off in Project Scheduling with Linguistic Variables. *World Appl. Sci. J.*, 18(3), 404° 413.
29. Talbi, E.-G. (2009). *Metaheuristics: from design to implementation*. John Wiley & Sons.
30. Tareghian, H. R., & Taheri, S. H. (2006). On the discrete time, cost and quality trade-off problem. *Appl. Math. Comput.*, 181, 1305° 1312.
31. Tareghian, H. R., & Taheri, S. H. (2007). A solution procedure for the discrete time, cost and quality tradeoff problem using electromagnetic scatter search. *Appl. Math. Comput.*, 190, 1136° 1145.
32. Tavana, M., Abtahi, A., & Khalili-damghani, K. (2014). A new multi-objective multi-mode model for solving preemptive time ° cost ° quality trade-off project scheduling problems. *Expert Syst. Appl.*, 41, 1830° 1846.
33. Tavana, M., Abtahi, A. & Khalili-Damghani, K. (2014). A new multi-objective multi-mode model for solving preemptive time°cost°quality trade-off project scheduling problems. *Expert Syst. Appl.*, 41, 1830° 1846.
34. Wei-Min, M.. Qing-Hai, L.. & Hua, K. (2014). A Stochastic Time-cost-quality Tradeoff Model for Discrete Project Scheduling Problem. *International Conference on Management Science and Management Innovation (MSMI 2014)* , 318° 323.
35. Yaghini, M., & Akhavan Kazemzadeh, M. R. (2010). DIMMA: A Design and Implementation Methodology for Metaheuristic Algorithms ° A Perspective from Software Development. *Int. J. Appl. Metaheuristic Comput.*, 1(4).

36. Yang, X. (2012). *Multiobjective firefly algorithm for continuous optimization*. pp. 13° 15.
37. Yang, X.-S. (2010). Firefly algorithm, stochastic test functions and design optimization. *Int. J. Bio-Inspired Comput.*, 2(2), 78° 84..
38. Zahedi, Sh., & Najafi, Gh. (2006). *Conceptual Framework for sustainable Development*. Modares Olome Ensani, 10 /4)
39. Zahedi, Sh. (2013). Sustainable Development. SAMT Press, Tehran, Iran.
40. Zitzler, E., Deb, K. & Thiele, L. (2000). Comparison of multiobjective evolutionary algorithms: Empirical results. *Evol. Comput.*, 8(2), 173° 195.

